

II-114 複数円柱に作用する規則波の揚力について

宮崎大学 工学部 正会員 河野二夫
 学生員 仲座栄三

1. 緒言

波の進行方向に対し 2 箇の鉛直円柱を並列に置いた場合の揚力の干渉効果に関する実験を行ない、とくに揚力係数について検討したものである。複数円柱構造物が進行波動中に接近して置かれている場合は單円柱の場合に比較して隣接円柱による波力の干渉効果が存在する。このような干渉効果に関する研究は從来から多くなされていて、しながら、これらの研究も実験条件、手法、評価方法などが異なることもあって十分に解明されたとは言えない。とくに揚力に関しては後流渦の作用が大きく影響するため、問題を複雑にしている。

本論文は揚力係数を実験によって算出することにより、その結果とボテンシャル流体場を仮定することにより算出される係数との比較により、逆に非ボテンシャルの液体の場が揚力に及ぼす効果を調べようとしたものである。結果的には 150 種類の実験組合せの中から、揚力の規則的な振動波形 70 個について取り纏めたにすぎず、さらに、これらに対する結果も十分に解明するまでは到らなかった。

2. 実験装置と実験方法

図-1 に示すように、造波水槽の中央付近に鉛直円柱を波の進行と直角水平方向(並列)に固定し、進行波を作用させた場合にテスト円柱(中央の円柱)に作用する揚力を計測した。波力受圧部は長さ 5 cm、直径 D = 4 cm で上部円柱の下端に焼青銅板ばねで固定され、波力による変位を直角增幅器

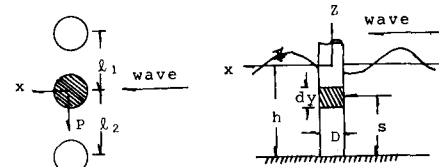


図-1. 説明図

で増幅し、ビデオグラフに水波形と同時に記録した。図で $S = 32.5 \text{ cm}$ 、水路水深 $h = 50 \text{ cm}$ である。造波水路は長さ 15 m、幅 0.6 m、高さ 1 m の鋼製水路を使用し、円柱には銅化ビニール製面を用いた。板ばねの水中固有振動数は 114 rad/sec であった。実験波は周期 0.6 秒～3 秒、波高 $H = 4 \sim 8 \text{ cm}$ の範囲である。

3. 理論的考察

図-2 に示すように、2 箇の近接円柱のまわりの速度ボテンシャル ψ 中に円柱表面の境界条件を直接満足させる手法¹⁾により、次式になる。

$$\begin{aligned} \phi = & -U\gamma_A \cos \theta_A - U\alpha^2 \left\{ \left(1 + \frac{b^2}{l^2} + \frac{\alpha^2 b^2}{l^4} \right) \frac{\cos \theta_A}{\gamma_A} + \frac{2ab^2}{l^3} \frac{\sin 2\theta_A}{\gamma_A} \right. \\ & \left. - \frac{3a^2 b^2}{l^4} \frac{\cos 3\theta_A}{\gamma_A} \right\} - \frac{Ub^2}{l^2} \left\{ \left(1 + \frac{\alpha^2}{l^2} \right) \gamma_A \cos \theta_A + \frac{\gamma_A^2}{l^2} \sin 2\theta_A - \frac{\gamma_A^3}{l^2} \cos 3\theta_A \right\} \end{aligned}$$

上式で、 a と b は円柱 A と B の半径である。円柱表面上の水圧強度 p は、

$$p = \rho \left[F(t) - \frac{\partial \phi}{\partial t} - \frac{1}{2} \left\{ \left(\frac{\partial \phi}{\partial \gamma_A} \right)^2 + \left(\frac{1}{\alpha} \frac{\partial \phi}{\partial \theta_A} \right)^2 \right\} \right]_{\gamma_A=a}$$

ρ : 水の密度, $F(t)$: 時間の任意関数である。以上の式から揚力 P は次式のように得られる。

$$P = - \int_0^{2\pi} \int_{\gamma_A}^{\gamma_B} p \cdot a \cdot \sin \theta_A \cdot d\theta_A \cdot dz = \frac{6}{l^3} \rho \pi \alpha^2 b^2 \left(1 + \frac{b^2}{l^2} + \frac{\alpha^2 b^2}{l^4} \right) \cdot \Delta z$$

図-1 に示すように 2 本の直列円柱のある場合は、対称性から判断すると近似的には、 $a = b = D/2$ として、

$$P = \frac{3}{8l^3} \rho \pi D^4 U^2 \left\{ 1 + \left(\frac{D}{2l} \right)^2 - \left(\frac{l_2}{l} \right)^2 - \left(\frac{l_2}{l} \right)^3 \left(\frac{D}{2l} \right)^2 + \left(\frac{D}{2l} \right)^4 - \left(\frac{l_2}{l} \right)^3 \left(\frac{D}{2l} \right)^4 \right\} \cdot \Delta z.$$

揚力係数 C_L を用いた揚力の一般の表示方法と上式の P を比較すると C_L は次式となる。

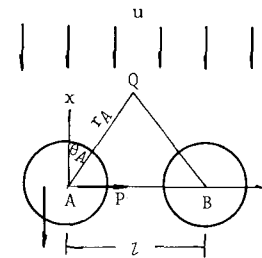


Fig.2: Interference Effects for One Neighboring Cylinder

$$C_L = \frac{3\pi}{4} \left(\frac{D}{l_1} \right)^2 \left\{ 1 + \left(\frac{D}{2l_1} \right)^2 - \left(\frac{l_1}{D} \right)^2 - \left(\frac{D}{2l_1} \right)^2 \left(\frac{D}{2l_1} \right)^2 + \dots \right\}$$

上式はボテンシィル的揚力（円柱の近接効果）に対する揚力係数である。実際には渦の発生による揚力も作用する。1本の円柱の場合は従来から研究されていきよう、例えば榎木ら²⁾によると、

$$C_L = 0.245 \{ 1 + (KC \text{ 数}) \}.$$

複数円柱の場合は渦の発生機構も異なると思われる所以更に検討の必要があるが、本文ではボテンシィル的考察の C_L の値に榎木らの上式の結果を加えて複数円柱の場合の揚力を調べることにした。

4. 実験結果と考察

A. 揚力の振動周期 (T_s) と波の周期 (T)

次本によると³⁾, $KC > 5$ で倍振動する ($T = 2T_s$) が図3では $KC < 5$ でも倍振動している。

B. 揚力係数 C_L

図4と図5に揚力係数と D/l の値、あるいは KC 数との関係を示した。図4の中の実線はボテンシィル理論から求めた C_L の値（2本の円柱）と榎木らによる C_L の値の和を示した。

ものである。以上の結果によると、十分ではなが、 C_L の値は統一的な整理が出来ると可能性を示している。

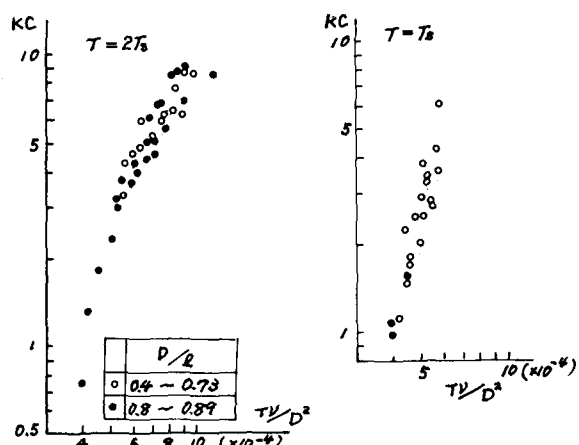


図3 揚力の振動周期 (T_s) と波の周期 (T).

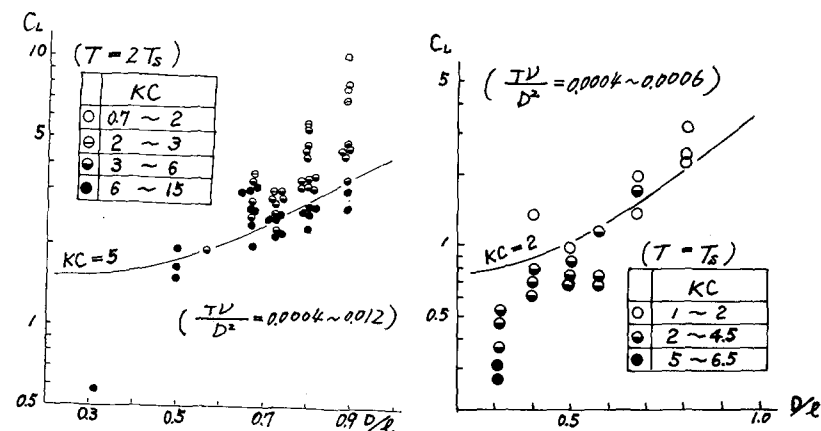


図4 揚力係数 C_L と D/l の関係 ($D/l_1 = 0, l_2 = l$)

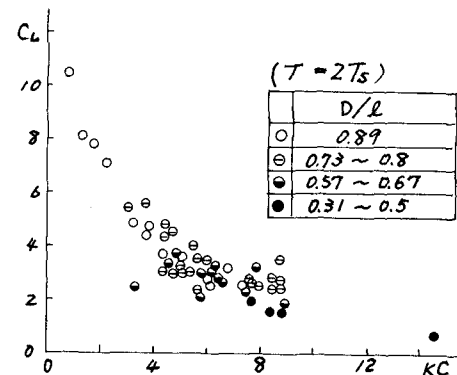


図5 C_L と KC の関係 ($D/l_1 = 0, l_2 = l$)

参考文献：(1). 沢野二夫：海岸水理学、南北出版、PP.257～259, 1980.

(2). 榎木 寛他：第22回海岸工学講演会論文集、PP.525～530, 1975.

(3). 江本・菊地：第26回海岸工学講演会論文集、P.430, 1979.